

УДК 621.357.74

ИССЛЕДОВАНИЕ НАПРЯЖЕННО-ДЕФОРМИРОВАННОГО СОСТОЯНИЯ МНОГОСЛОЙНЫХ МАТРИЦ МЕТОДОМ КОНЕЧНЫХ ЭЛЕМЕНТОВ

А. А. КУЗЬМИНЫХ

Факультет авиационно-технологических систем УГАТУ

Тел. (3472) 23 06 76

Предложена методика исследования напряженно-деформированного состояния многослойных матриц методом конечных элементов. Матрицы с произвольным числом слоев собраны с предварительным натягом

Напряженно-деформированное состояние; многослойная матрица; метод конечных элементов; идеальный контакт слоев; суперэлемент; двойные узлы; узловые силы; матрица жесткости; оптимальное проектирование

Наиболее трудоемкой и требующей преобладающей доли от затрат машинного времени частью задачи оптимального проектирования многослойных матриц для холодной объемной штамповки является определение компонент их напряженно-деформированного состояния (НДС). В то же время все ужесточающиеся требования к точности и достоверности получаемых результатов диктуют необходимость использования для расчета НДС современных численных методов, в частности, метода конечных элементов (МКЭ).

Предметом данной статьи является разработка общей методики расчета НДС многослойных матриц для штамповки некруглых деталей. На рисунке приводится расчетная схема одного из вариантов такой матрицы — с центральным шестиугольным отверстием, представляющей собой циклически симметричную конструкцию (12 плоскостей симметрии).

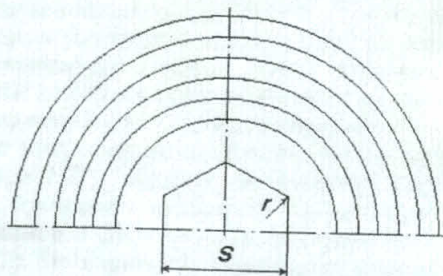
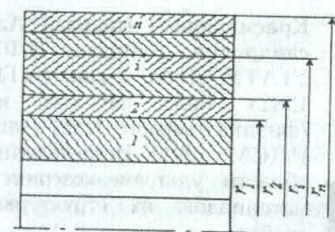


Рис. Расчетная схема многослойной матрицы

В статье [1] решением плоской контактной задачи теории упругости доказано, что в такого рода конструкциях при сборке с натягом и нагружении внутренним давлением имеет место „идеальный“ контакт слоев — проскальзывания слоев не происходит. Далее это обстоятельство принимается как гипотеза — допущение об идеальном контакте слоев (или рассматриваются только те случаи, когда такая гипотеза справедлива).

Нижеизложенный алгоритм справедлив как для трех-, так и двух- и одномерных задач определения НДС многослойных матриц. Задача будет одномерной, если отверстие постоянного (по высоте) сечения и круглое, постоянна также внешняя нагрузка (внутреннее давление), и становится двухмерной, если все перечисленное остается в силе, но отверстие уже не круглое (плоская задача) или для осесимметричных конструкций. Размерность задачи далее обозначается буквой N .

Матричные уравнения МКЭ для слоев записываются как для суперэлементов [2, 3]: перемещения внутренних и не участвующих в контакте контурных узлов исключаются (методом симметричного Гауссова исключения или фронтальным методом Айронса). Базовые (участвующие в контакте) узлы считаются двойными: принадлежащими соответственно охватываемой и охватывающей поверхностям.

Основные матричные соотношения МКЭ для суперэлементов (слоев общим числом n) могут быть записаны в виде [2, 4]

$$\begin{aligned}
 & K_{22}^{(1)} u_{\text{int}}^{(1)} = P^{(1)} + X^{(1)}; \\
 & \left\| \begin{array}{cc} K_{11}^{(i)} & K_{12}^{(i)} \\ K_{21}^{(i)} & K_{22}^{(i)} \end{array} \right\| \left\| \begin{array}{c} u_{\text{ext}}^{(i-1)} \\ u_{\text{int}}^{(i)} \end{array} \right\| = \left\| \begin{array}{c} -X^{(i-1)} \\ X^{(i)} \end{array} \right\|, \\
 & \quad i = 2, \dots, n-1; \\
 & K_{11}^{(n)} u_{\text{ext}}^{(n-1)} = P^{(1)} + X^{(1)}.
 \end{aligned} \tag{1}$$

Здесь $X^{(i)}$ ($i = 1, 2, \dots, n-1$) — векторы (матрицы-столбцы) узловых сил взаимодействия между

слоями i и $(i + 1)$; $u_{int}^{(k)}, u_{ext}^{(k)}$ ($k = 1, 2, \dots, n - 1$) — векторы узловых перемещений на стыке k (слоев k и $(k + 1)$) соответственно на охватываемой (int) и охватывающей (ext) поверхностях.

Пусть все поверхности стыка слоев цилиндрические, а перемещения узлов в векторах $u_{int}^{(k)}, u_{ext}^{(k)}$ перечислены в порядке: радиальное, осевое и окружное при $N = 3$, радиальное и окружное или радиальное и осевое (осесимметричная задача) при $N = 2$, радиальные — при $N = 1$. Тогда, вводя векторы размерности $N \cdot M^{(k)}$, где $M^{(k)}$ — число двойных узлов на стыке k ,

$$J^{(k)T} = \|100100 \dots 100\|, \quad k = 1, 2, \dots, n - 1, \quad N = 3, \quad (2a)$$

$$J^{(k)T} = \|101010 \dots 10\|, \quad k = 1, 2, \dots, n - 1, \quad N = 2, \quad (2б)$$

$$J^{(k)T} = \|11 \dots 1\|, \quad k = 1, 2, \dots, n - 1, \quad N = 1. \quad (2в)$$

Для составной конструкции, собранной с предварительным натягом $\delta^{(k)}$ ($k = 1, 2, \dots, n - 1$), равным разности радиусов охватываемой и охватывающей поверхностей, можно записать следующее матричное уравнение, выражающее условия совместности деформации (при идеальном контакте слоев)

$$u_{int}^{(k)} = u_{ext}^{(k)} + \delta^{(k)} J^{(k)}, \quad k = 1, 2, \dots, n - 1. \quad (3)$$

С привлечением (3) из уравнений (1) удастся исключить неизвестные узловые силы между слоями $X^{(i)}$ и записать их в стандартной для МКЭ форме

$$\|K\| \{u\} = \{P\} - \sum_{k=1}^{n-1} \delta^{(k)} \{b^{(k)}\}. \quad (4)$$

Здесь

$$\|K\| = \|K\|^T = \begin{vmatrix} K_{11}^{(2)} + K_{22}^{(1)} & \dots & 0 & \dots & 0 \\ K_{21}^{(2)} & \dots & 0 & \dots & 0 \\ 0 & \dots & 0 & \dots & 0 \\ \dots & \dots & \dots & \dots & \dots \\ 0 & \dots & 0 & \dots & 0 \\ 0 & \dots & K_{12}^{(i)} & \dots & 0 \\ 0 & \dots & K_{11}^{(i+1)} + K_{22}^{(i)} & \dots & 0 \\ 0 & \dots & K_{21}^{(i+1)} & \dots & 0 \\ 0 & \dots & 0 & \dots & 0 \\ \dots & \dots & \dots & \dots & \dots \\ 0 & \dots & 0 & \dots & 0 \\ 0 & \dots & 0 & \dots & K_{12}^{(n-1)} \\ 0 & \dots & 0 & \dots & K_{11}^{(n)} + K_{22}^{(n-1)} \end{vmatrix} \quad (5)$$

— симметричная блочно-диагональная матрица жесткости составной конструкции (знак T означает операцию транспонирования), где 0 — нулевая прямоугольная матрица, размерность которой $N M_i \times N M_j$ определяется ее местоположением в матрице (5); i — номер строки, j — номер столбца блоков;

$$\{u\}^T = \|u_{ext}^{(1)T} \quad u_{ext}^{(2)T} \quad \dots \quad u_{ext}^{(n-1)T}\| \quad (6)$$

— вектор узловых перемещений ансамбля суперэлементов;

$$\{P\}^T = \|P^{(1)T} \quad 0^{(2)} \quad \dots \quad 0^{(n-1)}\| \quad (7)$$

— вектор узловых сил на ансамбль от поверхностной нагрузки на стенки отверстия;

$$\begin{aligned} \{b^{(1)}\}^T &= \|J^{(1)T} K_{22}^{(1)T} \quad 0^{(2)} \quad 0^{(3)} \quad \dots \quad 0^{(n-1)}\|, \\ \{b^{(2)}\}^T &= \|J^{(2)T} K_{12}^{(2)T} \quad J^{(2)T} K_{22}^{(2)T} \quad 0^{(3)} \quad \dots \quad 0^{(n-1)}\|, \end{aligned}$$

$$\begin{aligned} \{b^{(i)}\}^T &= \|0^{(1)} \quad \dots \quad 0^{(i-2)} \quad J^{(i)T} K_{12}^{(i)T} \\ &\quad J^{(i)T} K_{22}^{(i)T} \quad 0^{(i+1)} \quad \dots \quad 0^{(n-1)}\|, \\ \{b^{(n-1)}\}^T &= \|0^{(1)} \quad \dots \quad 0^{(n-3)} \quad J^{(2)T} K_{12}^{(n-1)T} \\ &\quad J^{(2)T} K_{22}^{(n-1)T}\|. \end{aligned} \quad (8)$$

В (7) и (8) через $0^{(k)}$ ($k = 1, 2, \dots, n - 1$) обозначены нулевые векторы (матрицы-строки) размерности $N \times M_{(k)}$.

Нетрудно убедиться, что глобальную матрицу жесткости составной конструкции (5) можно вычислить по обычной процедуре МКЭ как неоднородного тела. В случае одномерной задачи в уравнениях (1)–(8) матрицы (блоки матриц) являются скалярными величинами.

Матричное уравнение (4) по структуре повторяет, а для одномерной задачи — совпадает с известным уравнением „трех давлений“ [5, 6].

Решением системы линейных алгебраических уравнений (4) при заданной внешней нагрузке (7) и натягах между слоями $\delta^{(k)}$ определяется вектор перемещений базовых узлов на охватывающих (6), затем — по (3) на охватываемых поверхностях суперэлементов (слоев). Далее, по известной методике МКЭ — перемещения внутренних узлов и напряжения в конечных элементах слоев.

По предложенной выше методике была разработана программа для оптимального проектирования многослойных матриц с произвольным числом слоев. Как и следовало ожидать, тестирование программы на примерах трех- [4] и двухмерной [7] задач дало идентичные результаты.

ВЫВОДЫ

Предложена методика и алгоритм исследования методом конечных элементов напряженно-деформированного состояния многослойных матриц, содержащих произвольное число слоев и собранных с предварительным натягом. Будучи включенной в состав систем автоматизированного проектирования, методика позволяет повысить точность и достоверность получаемых результатов.

СПИСОК ЛИТЕРАТУРЫ

1. Кузьминых А. А., Газизов Х. Ш., Якупов Р. Г., Шевелев А. А. Исследование напряженного состояния составного цилиндра с шестиугольным контуром полости // Изв. вузов. Черная металлургия. 1994. № 5. С. 38–40.
2. Галлагер Р. Метод конечных элементов. М.: Мир, 1984. 428 с.
3. Газизов Х. Ш., Кузьминых А. А. Расчет соединений с натягом методом конечных элементов // Изв. вузов. Машиностроение. 1994. № 7–9. С. 58–61.
4. Кузьминых А. А., Газизов Х. Ш., Закиров Д. М. Оптимальное проектирование трехслойных матриц для штамповки шестигранных деталей // Теория и технология процессов пластической деформации. М.: МИСиС, 1997. С. 380–389.

5. Канторович З. Б. Основы расчета химических машин и аппаратов. М.: Машгиз, 1960. 743 с.
6. Кузьминых А. А., Газизов Х. Ш. Оптимизация геометрических параметров многослойных матриц с твердосплавной вставкой // Изв. вузов. Черная металлургия. 1999. № 3. С. 48–51.
7. Адельгильдин А. Х., Закиров Д. М., Кузьминых А. А. Расчет параметров бандажированных матриц для штамповки шестигранных деталей методом конечных элементов // Прогрессивные технологические процессы в обработке металлов давлением. Магнитогорск: МДП, 1997. С. 231–236.

ОБ АВТОРЕ



Кузьминых Александр Андреевич, доцент, гл. науч. сотр. отраслевой лаборатории РТИИ УГАТУ. Дипл. инж.-механик (Челяб. политехн. ин-т, 1966). Канд. техн. наук по обработке металлов давлением (заш. в МИСиС, 1975). Исследования в области технологии производства инструментов для обработки металлов давлением.

УДК 571.95

ПРИБЛИЖЕННЫЕ СИММЕТРИИ И ОТОБРАЖЕНИЯ ГАМИЛЬТОНОВЫХ СИСТЕМ С МАЛЫМ ПАРАМЕТРОМ

А. В. ГЛАДКОВ

Естественно-научный факультет УГАТУ
Тел: (3472) 23 77 35 E-mail: gladkov@math.ugatu.ac.ru

Рассматриваются гамильтоновы системы с малым параметром. На основе приближенных симметрий этих систем строятся соответствующие им отображения (за период, сепаратрисные). Полученные отображения могут быть использованы для анализа локальной неустойчивости и оценки стохастических слоев близи сепаратрис невозмущенной задачи. В качестве примеров разобраны два случая периодического возмущения нелинейного маятника и возмущенная система волчка Эйлера

Гамильтоновы системы с малым параметром; приближенные симметрии; отображение за период; сепаратрисное отображение

ВВЕДЕНИЕ

В работе рассматриваются гамильтоновы системы с гамильтонианом

$$H = H_0(\mathbf{I}) + \varepsilon H_1(\mathbf{I}, \varphi, t). \quad (1)$$

Здесь $\mathbf{I} = (I_1, I_2, \dots, I_m)$, $\varphi = (\varphi_1, \varphi_2, \dots, \varphi_m)$ – канонически сопряженные переменные «угло-действие», t – время, ε – малый параметр.

Случай $\varepsilon = 0$ соответствует невозмущенной задаче, которая представляет собой интегрируемую систему с достаточным набором точных симметрий. Наличие же возмущения ($\varepsilon \neq 0$) часто приводит к нарушению симметричных свойств системы и, вообще говоря, к ее неинтегрируемости [4].

В [3] была доказана теорема о наследовании всех точных симметрий невозмущенной системы в виде приближенных симметрий системы с возмущением. Для класса гамильтоновых симметрий, связанных с первыми интегралами системы, доказана теорема о сохранении свойства гамильтоновости при наследовании симметрии и предельно явлены формулы для коэффициентов разложения приближенных первых интегралов, также исследован вопрос устойчивости симметрий относительно возмущения.

В данной работе рассмотрены два случая периодического возмущения нелинейного маятника. При помощи приближенных гамильтоновых симметрий построены приближенно инвариантные решения в виде приближенных первых ин-